

**Таблица 6**  
**Проверка адекватности уравнения регрессии**  
**на двигателях, не участвовавших**  
**в процессе численного эксперимента**

Авиационный двигатель	$Re s_{K\text{Спект}}$	$Re s_{K\text{Стеор}}$
TB3-117BM	0,15	0,253
TB3-117KM	0,15	0,306
TB3-117B	0,15	0,272
TB3-117BK	0,15	0,234
ARRIEL 2B	0,30	0,339
ARRIEL 1D1	0,40	0,332
ARRIEL 1C2	0,30	0,294

Средние значения  $Re s_{K\text{Спект}}$  и  $Re s_{K\text{Стеор}}$  табл. 6 соответственно равны 0,228 и 0,29.

#### ВЫВОД

Как видно из приведенных примеров, эмпирическая зависимость (5) пригодна для расчета ресурса камеры сгорания авиационного двигателя с определенной степенью точности. Значения ресурса, рассчитанного с помощью полученной зависимости, как видно из табл. 6, на 0,062 единиц больше ресурса, опираясь на который эксплуатируются авиационные двигатели на сегодняшний день. В абсолютных величинах это составляет 620 ч налета. То есть двигатель с данной камерой сгорания может эксплуатироваться еще порядка трех лет, а он

преждевременно отправляется в ремонт или на свалку, что влечет за собой громаднейшие дополнительные материальные затраты.

С помощью полученного уравнения регрессии можно также решать задачи по определению недостающих параметров зарубежных двигателей.

#### ЛИТЕРАТУРА

1. Акимов, В. М. Основы надежности газотурбинных двигателей / В. М. Акимов. – М., 1981.
2. Гнеденко, Б. В. Математические методы в теории надежности / Б. В. Гнеденко, Ю. К. Беляев, А. Д. Соловьев. – М., 1965.
3. Лозицкий, Л. П. Конструкция и прочность авиационных газотурбинных двигателей / Л. П. Лозицкий, А. Н. Ветров, С. М. Дорошко. – М., 1992.
4. Штода, А. В. Конструкция авиационных газотурбинных двигателей / А. В. Штода, В. А. Секистов, В. В. Кулешов. – Киев, 1982.
5. Гнеденко, Б. В. Курс теории вероятностей / Б. В. Гнеденко. – М., 1996.
6. Большев, Л. Н. Таблицы математической статистики / Л. Н. Большев, Н. В. Смирнов. – М., 1965.
7. Акимов, В. М. Теория и расчет воздушно-реактивных двигателей / В. М. Акимов [и др.]. – М., 1987.
8. Коровкин, В. Д. // Труды V научных чтений по космонавтике, посвященных памяти выдающихся советских ученых – пионеров освоения космического пространства / В. Д. Коровкин, М. М. Цховребов. – М., 1983. – С. 45–47.

Поступила 15.11.2005

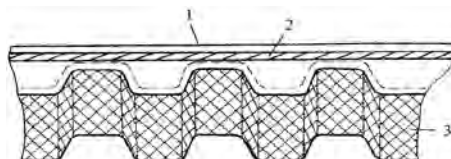
УДК 621.85.052.44

## ФИЗИКО-ХИМИЧЕСКИЕ ОСНОВЫ АДГЕЗИИ КОМПОНЕНТОВ ПРИВОДНЫХ ЗУБЧАТЫХ РЕМНЕЙ И ИХ ВЛИЯНИЕ НА ЭКСПЛУАТАЦИОННЫЙ РЕСУРС

*Канд. техн. наук, доц. БАХАНОВИЧ А. Г.*

*Белорусский национальный технический университет*

Приводной зубчатый ремень является вязкоупругой полимерной анизотропной системой элементов, взаимосвязанных посредством адгезионных связей (рис. 1). Для обеспечения прочности связи используют адгезионные компоненты, основными составляющими которых являются синтетические смолы.



*Рис. 1. Зубчатый ремень: 1 – наполнитель; 2 – несущий слой; 3 – износостойкая тканевая обкладка*

Количественной характеристикой адгезии служит работа, затрачиваемая на разрушение адгезионного соединения [1]:

$$A_{\text{ад}} = p_{\text{n}} + \gamma_{\text{ж}}(k + \cos\phi), \quad (1)$$

где  $p_{\text{n}} = \gamma_{\text{т}} - \gamma'_{\text{т}}$  – поверхностное давление пленки адсорбированных на твердом теле паров;  $\gamma_{\text{т}}$  – поверхностная энергия твердого тела;  $\gamma'_{\text{т}}$  – свободная поверхностная энергия твердого тела в атмосфере паров или газов;  $\gamma_{\text{ж}}$  – поверхностное натяжение жидкости;  $k = \gamma'_{\text{ж}} / \gamma_{\text{ж}}$ ;  $\gamma'_{\text{ж}}$  – поверхностное натяжение жидкости, ориентированной под влиянием силового поля твердой поверхности;  $\phi$  – угол смачивания.

Из (1) следует, что для достижения высокой адгезии необходимо, чтобы  $p_{\text{n}}$  имело высокие значения, а также выполнялось условие  $\gamma_{\text{т}} > \gamma_{\text{ж}}$ , обеспечивающее смачивание адгезивов поверхности субстрата. Можно считать, что для достижения высокой адгезии необходимо выполнение условия

$$\gamma_{\text{субстрат}} > \gamma_{\text{адгезив}}. \quad (2)$$

Все твердые тела – субстраты – по значениям поверхностной энергии можно условно разделить на два класса:

- с низкой поверхностной энергией ( $\gamma \leq 0,1 \text{ Дж/м}^2$ );
- с высокой поверхностной энергией ( $\gamma > 0,2 \text{ Дж/м}^2$ ).

К первому относятся полимерные материалы, ко второму – стекло, металлы.

Абсолютное значение величины адгезии зависит от интенсивности межмолекулярного и химического взаимодействия в зоне контакта. Межмолекулярное взаимодействие (ван-дер-ваальсовы и дисперсионные силы) проявляется на расстоянии 5 Å и менее.

Поэтому для достижения высокого значения адгезионной прочности в реальных системах большое значение имеет также ряд других факторов. Вязкоэластические характеристики адгезива определяют способность к заполнению трещин, шероховатостей и прочих микродефектов на поверхности субстрата. Смачиваемость дублируемых материалов создает плотный контакт и необходимые предпосылки для

межмолекулярного взаимодействия. Вследствие диффузии молекул дублируемых полимерных материалов и низкомолекулярных веществ, входящих в состав полимерных композиций, образуется переходный слой, который способствует повышению адгезионной прочности. Прочность сцепления двух разнородных материалов зависит как от поверхностных сил, так и от физико-механических характеристик переходного слоя.

Критическое поверхностное натяжение большинства синтетических смол несколько выше соответствующих величин различных каучуков, поэтому введение смолы в резиновую смесь незначительно изменяет ее поверхностное натяжение на границе с воздухом. Однако наличие функциональных групп в молекулах смол обусловливает их поверхностно-активные свойства и существенно снижает поверхностное натяжение на границе резиновой смеси с твердыми телами с высокой поверхностной энергией. Введение синтетических смол в резиновые смеси повышает их адгезию к стеклу, металлам за счет улучшения смачивания. Наибольший эффект оказывают эпоксидные, резорцино- и фенолоформальдегидные, а также другие смолы с функциональными группами. После достижения необходимой степени контакта решающее значение имеет межмолекулярное и химическое взаимодействие молекул адгезива и субстрата. При этом существенную роль играет тип функциональных групп в синтетических смолах, которые вводятся в состав адгезивов.

К функциональным группам, способным к взаимодействию с самыми различными материалами, относятся эпоксидная и метилольная ( $\text{CH}_2\text{OH}$ ). Высокой реакционной способностью обладают также аминные ( $\text{CH}_2-\text{H}_2$ ) и азометиновые группы ( $\text{CH}_2-\text{H}=\text{CH}_2$ ). Указанные группы образуют различные (от водородных до химических) связи между адгезивом и субстратом. В то же время наличие функциональных групп в молекулах смол способствует их взаимодействию с молекулами каучуков.

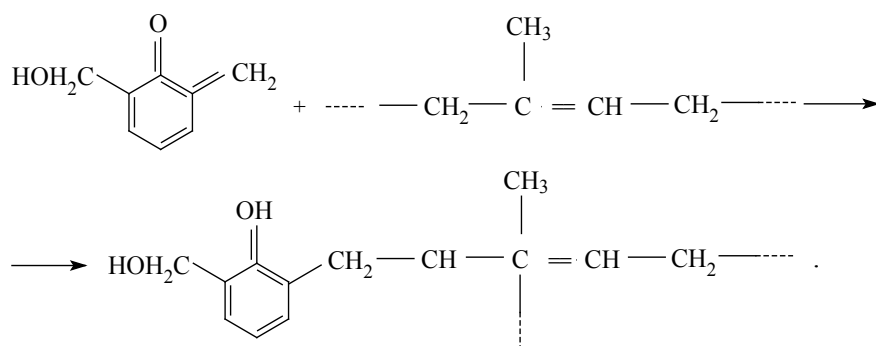
Одним из основных факторов, определяющих прочность связи между компонентами приводного зубчатого ремня, является рецептура адгезива. Адгезив, соединяющий два разнородных субстрата в монолитную структуру,

должен обладать бифильностью, т. е. иметь высокую адгезию к волокнам и резине. Наиболее широко применяются адгезивы, представляющие собой пропиточные составы на основе латексов различных каучуков. Вторым компонентом в пропиточном составе являются соединения с активными полярными группами. Большее значение имеет также тип латекса, применяемого в качестве основы адгезива. Эффективным средством воздействия на прочность связи в резинокордной системе является подбор оптимальной рецептуры резиновой смеси.

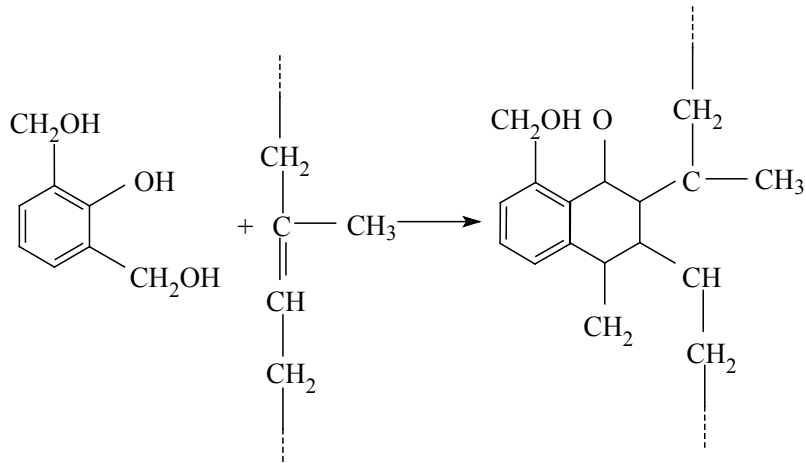
Термодинамическое совмещение эластомеров пропиточного состава и резиновой смеси положительно влияет на прочность связи на границе «адгезив – резина». Способность смолы к дальнейшей конденсации в процессе вулканизации изделия с образованием химических связей и усилением переходного слоя также повышает прочность адгезии. Для увеличения общей работоспособности системы большое

значение имеют модуль упругости, прочность и сопротивление усталости поверхностной пленки адгезива. Указанным требованиям в наибольшей степени отвечают карбоксилатные, винилпиридиновые, метакриламидные и эпоксидированные каучуки.

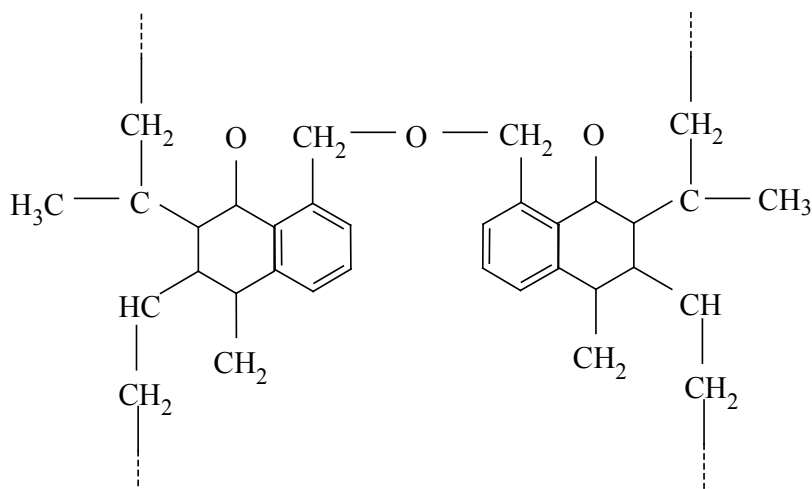
Наиболее высокие показатели адгезии дают олигомеры, полученные в соотношении резорцин:формальдегид = 1:3. Катализатором процесса являются щелочь и аммиак, pH среды поддерживается в строго заданных условиях. Конденсация смолы до введения ее в латекс обрывается на стадии образования фенолоспиртов. Механизм взаимодействия конденсационных смол с эластомерами происходит по нескольким направлениям [2]. Например, фенолоспирт с отщеплением воды превращается в хинонметид, который взаимодействует с атомами водорода CH<sub>3</sub> – метильных групп ненасыщенных эластомеров и сшивает макромолекулы



Другой возможный механизм – при взаимодействии фенолоспиртов с ненасыщенными соединениями образуются хромановые соединения



Конечный продукт соединения можно представить следующей формулой:



Введение резотропина приводит также к изменению ряда физико-механических показателей вулканизатов. Повышаются модуль упругости и эластичность, улучшается сопротивление тепловому старению. Одновременно понижается разрывное удлинение и снижается выносливость при многократном растяжении. Оптимальное содержание резотропина в смеси – 3–5 мас. доли. Наличие в смеси минеральных наполнителей способствует более эффективному повышению прочности связи и распределению резотропина. Резотропин обладает недостаточной стойкостью при длительном хранении. Гранулированный модификатор РУ-1, полученный из резорцина, уротропина в присутствии борной кислоты, способен обеспечивать высокую прочность связи различных резин со стекло- и металлокордом. С модификатором РУ-1 в резинокордной системе получается более высокая динамическая прочность связи и термоокислительная устойчивость резин, чем с резотропином.

При адгезии полимера к металлу роль химической природы адгезива оказывается решающей. Причем важно, чтобы адгезив не просто содержал определенное число полярных групп, а чтобы эти группы обладали способностью вступать в интенсивное взаимодействие с поверхностными группами субстрата, например исполняли роль доноров электронов. Между атомами металла и углеводородами в системе «адгезив – субстрат» могут образовываться химические связи. Например, между углеводородом и металлом может возникнуть ковалентная связь.

Несмотря на возможность химического взаимодействия между металлом и углеводородами значительно больший интерес для адгезионных систем представляет механизм взаимодействия полимерных адгезивов с окисной пленкой, образующейся практически на любой металлической поверхности. Покрывающие поверхность металлов окисные пленки играют существенную роль в адгезии. Причина высокой прочности связи резины с латунированным металлокордом состоит в химическом взаимодействии между активным компонентом медью и серой. Цинк играет роль наполнителя. Существенное значение имеют составы латуни и резины, при изменении которых изменяются относительные скорости взаимодействия серы с латунью и каучуком. Высокая прочность связи достигается только в том случае, когда эти скорости соизмеримы. Взаимодействие серы с латунью приводит к образованию сульфида меди  $\text{CuSO}_3$ , который препятствует образованию связи латуни с каучуком, а быстрая реакция серы с каучуком вызывает вулканизацию резиновой смеси раньше, чем успеет образоваться достаточное число связей между каучуком и латунью [3]. Образовавшийся в начальный период сульфид меди, обнаруженный на поверхности латуни после отделения от нее резины, связывается затем с молекулами каучука через атом серы.

Для повышения прочности связи в системе «эластомер – стеклокорд» используют различные типы аппретов – комплексные соединения солей хрома, кобальта, меди и свинца или меркаптан-содержащие кремнийорганические аппреты.

Оптимальное содержание активных групп в адгезиве подбирают, как правило, эмпирически, так как в основном отсутствует пропорциональность между адгезионной прочностью и содержанием в адгезиве функциональных групп. Эта зависимость часто имеет экстремальный характер. С увеличением содержания функциональных групп адгезионная прочность, достигнув определенного предела, перестает возрастать и даже начинает снижаться [4].

Для создания прочного резинокордного каркаса применяются бифильные адгезивы (пропиточные составы), которые имеют высокую адгезию к полимерам волокон и слабополярным эластомерам, входящим в состав резиновой смеси. Наличие у адгезива и субстрата групп, способных к образованию водородных связей, комплексов с переносом зарядов, ион-дипольных и других взаимодействий, еще не означает, что в этой системе может быть легко достигнута высокая адгезионная прочность. Число функциональных групп адгезива и субстрата, вступивших во взаимодействие, лишь косвенным образом связано с их общим количеством [5]. В большинстве случаев значительная часть функциональных групп на поверхности раздела «адгезив – субстрат» не участвует во взаимодействии.

Таким образом, вопрос о взаимодействии функциональных групп адгезивов с соответствующими группами поверхности субстратов достаточно сложный и требует индивидуального подхода к решению. Необходимо учитывать не только наличие и тип функциональных групп в макромолекулах адгезива, но и пространственное строение полимера, длину и гибкость макромолекул, характер и прочность надмолекулярных соединений.

Функциональные группы контактирующих фаз, с точки зрения их вклада в адгезионную прочность, неравнозначны. Предпочтение следует отдавать полярным группам с подвижным атомом водорода или легко реагирующими с группами, содержащими подвижный атом водорода, а также группам, имеющим гетероатомы с необобщенными электронами.

В табл. 1–4 приведены разработанные рецептуры резиновых смесей, используемых при производстве приводных зубчатых ремней.

**Таблица 1**  
**Резиновая смесь для слоя сжатия и растяжения**  
**(образец 1)**

Наименование компонента	1 мас. доля на 100 мас. дол. каучука
Наирит ДСР	70,0
СКН-18М	30,0
Тиурам	0,25
Белила цинковые	3,0
Магнезия жженая	7,0
Нафтам-2	2,0
Смола стирольная инденовая	5,0
Технический углерод Т-900	40,0
Технический углерод П-701	50,0
Стеарин	1,0
Дибутилфталат	20,0
Фталевый ангидрид	1,0
Итого	229,25
Теоретическая плотность, кг/м <sup>3</sup>	1400

**Таблица 2**  
**Резиновая смесь для слоя сжатия и растяжения**  
**(образец 2)**

Наименование компонента	1 мас. доля на 100 мас. дол. каучука
Наирит	85,0
СКД	10,0
СКН-3	5,0
Технический углерод П-701	70,0
Сажа белая БС-100	5,0
Вискозное волокно	10,0
Белила цинковые	3,0
Магнезия жженая	7,0
Тиазол	1,0
Дибутилфталат	10,0
Пластификатор ПН-6Т	15,0
Нафтам-2	2,0
Диафен ФП	1,0
Паралайт 17	1,0
Стеарин	2,0
Модификатор РУ	1,2
Октофор	1,2
Итого	229,4
Теоретическая плотность, кг/м <sup>3</sup>	1430

**Таблица 3**  
**Резиновая смесь для слоя сжатия и растяжения**  
**(образец 3)**

Наименование компонента	1 мас. доля на 100 мас. дол. каучука
Неопрен	70,0
СКН-18М	30,0
Технический углерод П-701	70,0
Технический углерод Т-900	30,0
Сера	2,5

*Окончание табл. 3*

Наименование компонента	1 мас. доля на 100 мас. дол. каучука
Сульфенамид Ц	1,5
Белила цинковые	3,0
Магнезия жженая	7,0
Тиазол	0,5
Нафтам-2	2,0
Фталевый ангидрид	1,0
Стеарин	2,0
Дибутилфталат	15,0
Пластификатор ПН-6	5,0
Итого	239,5
Теоретическая плотность, кг/м <sup>3</sup>	1400

*Таблица 4*

**Резиновая смесь для слоя сжатия и растяжения (образец 4)**

Наименование компонента	1 мас. доля на 100 мас. дол. каучука
Неопрен	100,0
Сажа белая БС-100	12,0
Технический углерод П-514	15,0
Технический углерод Т-702	15,0
Хлопковый линт	20,0
Структол	6,0
Белила цинковые	2,5
Магнезия жженая	4,0
Диафен ФП	1,0
П-оксинаэозон	2,0
Эмулан	2,0
Кислота стеариновая	1,5
Паралайт 17	2,0
Пластификатор ПН-6	16,0
Октофор	2,0
Индекумароновая смола	3,0
Итого	204,0
Теоретическая плотность, кг/м <sup>3</sup>	1330

В табл. 5 приведены физико-механические свойства вулканизатов.

*Таблица 5*

**Физико-механические свойства вулканизатов**

Об- ра- зец	Твер- дость по Шору А, у. д.	Условный предел прочности при разры- ве, МПа	Относи- тельное удлине- ние при разрыве, %	Гисте- резис- ные потери, %	Сопро- тивле- ние на раздир, МПа	Эла- стич- ность по отско- ку, %
1	65–75	12,7	370	21	3,9	36
2	65–70	11,7	320	20,3	1,5	60
3	70–80	13,0	260	20,5	3,3	30
4	70–80	9,0	290	34	5,0	30

Разработанные резиновые смеси и пропиточные составы использованы при производстве опытной партии приводных зубчатых ремней, прошедших ресурсные испытания в заводских условиях. Установлено повышение долговечности ремней в среднем на 10–15 % при сопоставимой себестоимости.

## ВЫВОДЫ

1. Разработка физико-химических основ образования адгезионных связей компонентов приводных зубчатых ремней является эффективным средством повышения их несущей способности и долговечности.

2. Использование разработанных рецептур резиновых смесей и пропиточных составов при производстве приводных зубчатых ремней позволило увеличить их эксплуатационный ресурс на 10–15 %, сохранив прежний уровень себестоимости.

## ЛИТЕРАТУРА

- Лукомская, А. И. Основы прогнозирования механического поведения каучуков и резин / А. И. Лукомская, В. Ф. Евстратов. – М.: Химия, 1975. – 360 с.
- Берлин, А. А. Основы адгезии полимеров / А. А. Берлин, В. Е. Басин. – М.: Химия, 1969. – 320 с.
- Кошелев, Ф. Ф. Общая технология резины / Ф. Ф. Кошелев, А. Е. Корнев, А. М. Буанов. – М.: Химия, 1978. – 528 с.
- Резниковский, М. М. Механические испытания каучука и резины / М. М. Резниковский, А. И. Лукомская. – М.: Химия, 1968. – 500 с.
- Белозеров, Н. В. Технология резины / Н. В. Белозеров. – М.: Химия, 1979. – 472 с.

Поступила 27.09.2006